

Zulassungsstelle für Bauprodukte und Bauarten

Bautechnisches Prüfamts

Eine vom Bund und den Ländern  
gemeinsam getragene Anstalt des öffentlichen Rechts



## Europäische Technische Bewertung

ETA-18/0617  
vom 11. Dezember 2019

### Allgemeiner Teil

Technische Bewertungsstelle, die die Europäische Technische Bewertung ausstellt

Deutsches Institut für Bautechnik

Handelsname des Bauprodukts

Injektionssystem ESSVE ONE oder  
ESSVE ONE-ICE für Beton

Produktfamilie,  
zu der das Bauprodukt gehört

Verbunddübel zur Verankerung in Beton

Hersteller

ESSVE Produkter AB  
Esbogatan 14  
164 74 KISTA  
SCHWEDEN

Herstellungsbetrieb

ESSVE Plant No. 671

Diese Europäische Technische Bewertung enthält

31 Seiten, davon 3 Anhänge, die fester Bestandteil dieser Bewertung sind.

Diese Europäische Technische Bewertung wird ausgestellt gemäß der Verordnung (EU) Nr. 305/2011, auf der Grundlage von

EAD 330499-01-0601

Diese Fassung ersetzt

ETA-18/0617 vom 15. Februar 2019

Die Europäische Technische Bewertung wird von der Technischen Bewertungsstelle in ihrer Amtssprache ausgestellt. Übersetzungen dieser Europäischen Technischen Bewertung in andere Sprachen müssen dem Original vollständig entsprechen und müssen als solche gekennzeichnet sein.

Diese Europäische Technische Bewertung darf, auch bei elektronischer Übermittlung, nur vollständig und ungekürzt wiedergegeben werden. Nur mit schriftlicher Zustimmung der ausstellenden Technischen Bewertungsstelle kann eine teilweise Wiedergabe erfolgen. Jede teilweise Wiedergabe ist als solche zu kennzeichnen.

Die ausstellende Technische Bewertungsstelle kann diese Europäische Technische Bewertung widerrufen, insbesondere nach Unterrichtung durch die Kommission gemäß Artikel 25 Absatz 3 der Verordnung (EU) Nr. 305/2011.

## Besonderer Teil

### 1 Technische Beschreibung des Produkts

Das "Injektionssystem ESSVE ONE, ESSVE ONE-ICE für Beton" ist ein Verbunddübel, der aus einer Mörtelkartusche mit Injektionsmörtel ESSVE ONE oder ESSVE ONE-ICE und einem Stahlteil besteht. Das Stahlteil ist eine handelsübliche Gewindestange mit Scheibe und Sechskantmutter in den Größen M8 bis M30 oder ein Betonstahl in den Größen  $\varnothing$  8 bis  $\varnothing$  32 mm oder einer Innengewindestange IG-M6 bis IG-M20.

Das Stahlteil wird in ein mit Injektionsmörtel gefülltes Bohrloch gesteckt und durch Verbund zwischen Stahlteil, Injektionsmörtel und Beton verankert.

Die Produktbeschreibung ist in Anhang A angegeben.

### 2 Spezifizierung des Verwendungszwecks gemäß anwendbarem Europäischen Bewertungsdokument

Von den Leistungen in Abschnitt 3 kann nur ausgegangen werden, wenn der Dübel entsprechend den Angaben und unter den Randbedingungen nach Anhang B verwendet wird.

Die Prüf- und Bewertungsmethoden, die dieser Europäischen Technischen Bewertung zu Grunde liegen, führen zur Annahme einer Nutzungsdauer des Dübels von mindestens 50 Jahren. Die Angabe der Nutzungsdauer kann nicht als Garantie des Herstellers verstanden werden, sondern ist lediglich ein Hilfsmittel zur Auswahl des richtigen Produkts in Bezug auf die angenommene wirtschaftlich angemessene Nutzungsdauer des Bauwerks.

### 3 Leistung des Produkts und Angaben der Methoden ihrer Bewertung

#### 3.1 Mechanische Festigkeit und Standsicherheit (BWR 1)

Wesentliches Merkmal	Leistung
Charakteristischer Widerstand unter Zugbeanspruchung (statische und quasi-statische Einwirkungen)	Siehe Anhang C 1 bis C 3, C 5, C 7
Charakteristischer Widerstand unter Querbeanspruchung (statische und quasi-statische Einwirkungen)	Siehe Anhang C1, C 4, C 6, C 8
Verschiebungen (statische und quasi-statische Einwirkungen)	Siehe Anhang C 9 bis C 11
Charakteristischer Widerstand und Verschiebungen für seismische Leitungskategorie C1	Siehe Anhang C 12 bis C 16
Charakteristischer Widerstand und Verschiebungen für seismische Leitungskategorie C2	Leistung nicht bewertet
Dauerhaftigkeit	Siehe Anhang B 1

#### 3.2 Hygiene, Gesundheit und Umweltschutz (BWR 3)

Wesentliches Merkmal	Leistung
Inhalt, Emission und/oder Freisetzung von gefährlichen Stoffen	Leistung nicht bewertet

**4 Angewandtes System zur Bewertung und Überprüfung der Leistungsbeständigkeit mit der Angabe der Rechtsgrundlage**

Gemäß dem Europäischen Bewertungsdokument EAD 330499-01-0601 gilt folgende Rechtsgrundlage: [96/582/EG].

Folgendes System ist anzuwenden: 1

**5 Für die Durchführung des Systems zur Bewertung und Überprüfung der Leistungsbeständigkeit erforderliche technische Einzelheiten gemäß anwendbarem Europäischen Bewertungsdokument**

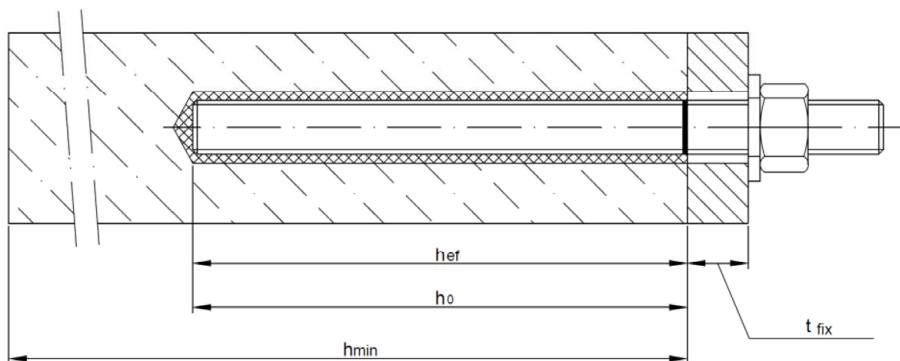
Technische Einzelheiten, die für die Durchführung des Systems zur Bewertung und Überprüfung der Leistungsbeständigkeit notwendig sind, sind Bestandteil des Prüfplans, der beim Deutschen Institut für Bautechnik hinterlegt ist.

Ausgestellt in Berlin am 11. Dezember 2019 vom Deutschen Institut für Bautechnik

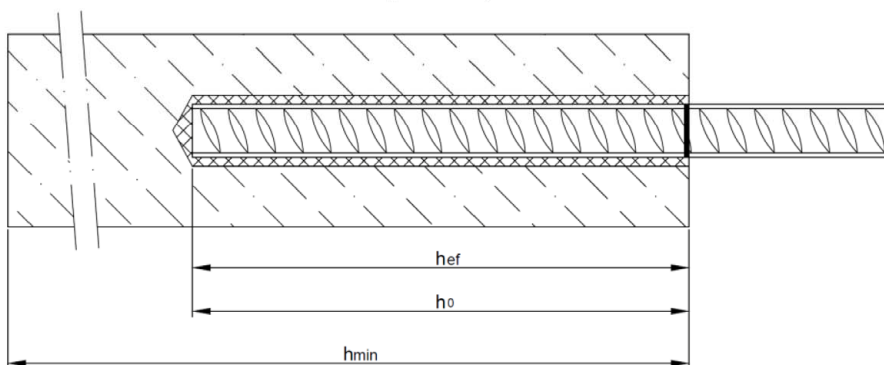
Dr.-Ing. Lars Eckfeldt  
i.V. Abteilungsleiter

Beglaubigt:

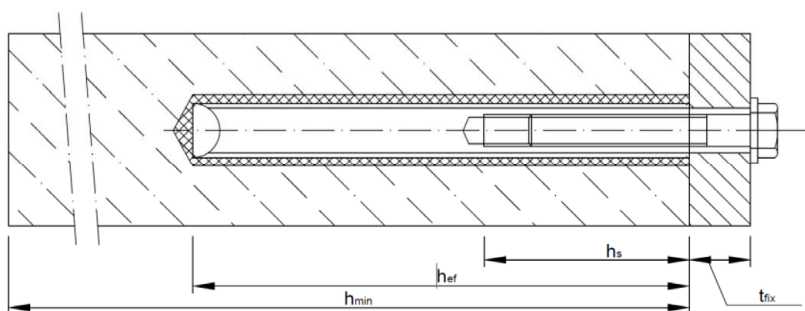
### Einbauzustand Gewindestange M8 bis M30



### Einbauzustand Betonstahl Ø8 bis Ø32



### Einbauzustand Innengewindeankerstange IG-M6 bis IG-M20



- $t_{fix}$  = Dicke des Anbauteils  
 $h_{ef}$  = wirksame Verankerungstiefe  
 $h_0$  = Bohrlochtiefe  
 $h_{min}$  = Mindestbauteildicke

**Injection System ESSVE ONE, ESSVE ONE-ICE für Beton**

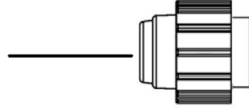
**Produktbeschreibung**  
Einbauzustand

**Anhang A 1**

**Kartusche: ESSVE ONE oder ESSVE ONE-ICE**

**150 ml, 280 ml, 300 ml bis 333 ml und 380 ml bis 420 ml Kartusche (Typ: Koaxial)**

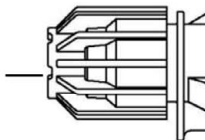
Schraubverschluss



Aufdruck: ESSVE ONE oder ESSVE ONE-ICE, Verarbeitungshinweise, Chargennummer, Haltbarkeit, Lagertemperatur, Gefahrennummern, Aushärtezeit und der Verarbeitungszeit (abhängig von der Temperatur), sowohl mit als auch ohne Kolbenwegskala

**235 ml, 345 ml bis 360 ml und 825 ml Kartusche (Typ: "side-by-side")**

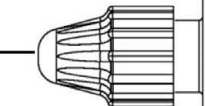
Schraubverschluss



Aufdruck: ESSVE ONE oder ESSVE ONE-ICE, Verarbeitungshinweise, Chargennummer, Haltbarkeit, Lagertemperatur, Gefahrennummern, Aushärtezeit und der Verarbeitungszeit (abhängig von der Temperatur), sowohl mit als auch ohne Kolbenwegskala

**165 ml und 300 ml Kartusche (Typ: "Schlauchfolie")**

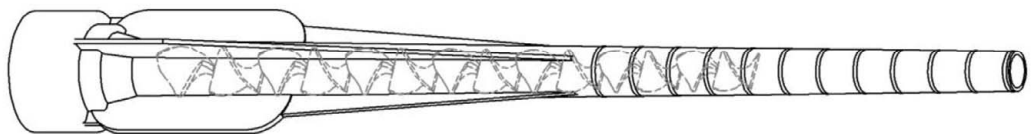
Schraubverschluss



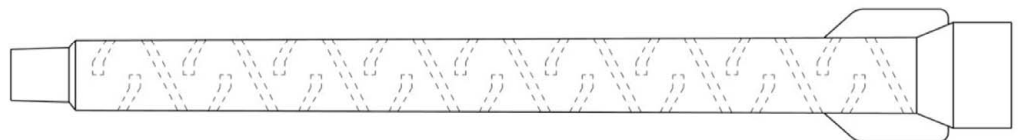
Aufdruck: ESSVE ONE oder ESSVE ONE-ICE, Verarbeitungshinweise, Chargennummer, Haltbarkeit, Lagertemperatur, Gefahrennummern, Aushärtezeit und der Verarbeitungszeit (abhängig von der Temperatur), sowohl mit als auch ohne Kolbenwegskala

**Statikmischer**

CRW 14W



TAH 18W

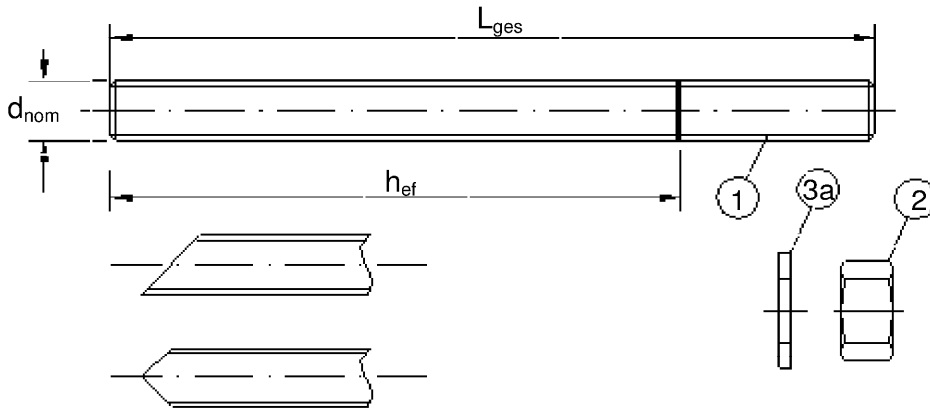


**Injection System ESSVE ONE, ESSVE ONE-ICE für Beton**

**Produktbeschreibung**  
Injektionssystem

**Anhang A 2**

### Ankerstange M8, M10, M12, M16, M20, M24, M27, M30 mit Unterlegscheibe und Sechskantmutter

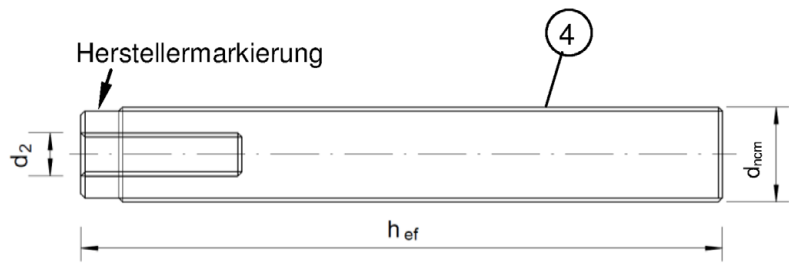
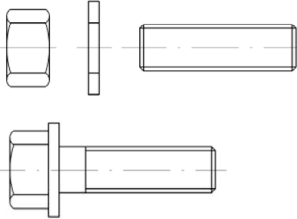


Handelsübliche Gewindestange mit:

- Werkstoff, Abmessungen und mechanische Eigenschaften gemäß Tabelle A1
- Abnahmeprüfzeugnis 3.1 gemäß EN 10204:2004
- Markierung der Setztiefe

### Innengewindeankerstange IG-M6, IG-M8, IG-M10, IG-M12, IG-M16, IG-M20

Gewindestange oder Schraube



Markierung: z.B.  M8

 Kennzeichnung Innengewinde

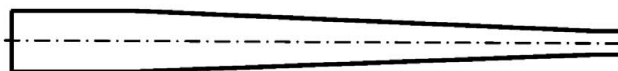
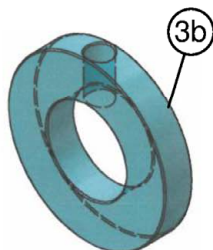
 Werkszeichen

M8 Gewindegröße (Innengewinde)

A4 zusätzliche Kennung für nichtrostenden Stahl

HCR zusätzliche Kennung für hochkorrosionsbeständigen Stahl

### Verfüllscheibe und Mischerreduzierstück zum Verfüllen des Ringspalts zwischen Anker und Anbauteil



Injection System ESSVE ONE, ESSVE ONE-ICE für Beton

Produktbeschreibung

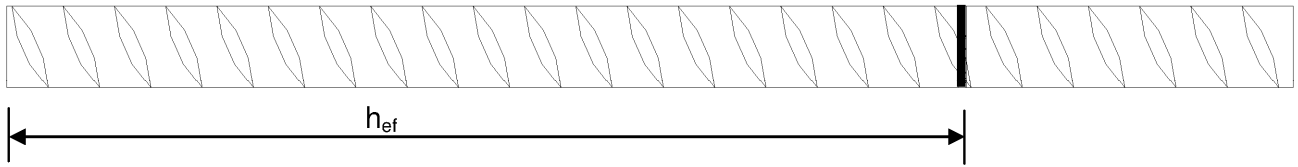
Gewindestange, Innengewindeankerstange und Verfüllscheibe

Anhang A 3

**Tabelle A1: Werkstoffe**

Teil	Benennung	Werkstoff				
<b>Stahlteile aus verzinktem Stahl</b> (Stahl gemäß EN 10087:1998 oder EN 10263:2001)						
- galvanisch verzinkt $\geq 5 \mu\text{m}$ gemäß EN ISO 4042:1999 oder						
- feuerverzinkt $\geq 40 \mu\text{m}$ gemäß EN ISO 1461:2009 und EN ISO 10684:2004+AC:2009 oder						
- diffusionsverzinkt $\geq 45 \mu\text{m}$ gemäß EN ISO 17668:2016						
1	Gewindestange	Festigkeitsklasse	Charakteristische Stahlfestigkeit	Charakteristische Streckgrenze	Bruchdehnung	
		gemäß EN ISO 898-1:2013	4.6	$f_{uk} = 400 \text{ N/mm}^2$	$f_{yk} = 240 \text{ N/mm}^2$	$A_5 > 8\%$
			4.8	$f_{uk} = 400 \text{ N/mm}^2$	$f_{yk} = 320 \text{ N/mm}^2$	$A_5 > 8\%$
			5.6	$f_{uk} = 500 \text{ N/mm}^2$	$f_{yk} = 300 \text{ N/mm}^2$	$A_5 > 8\%$
			5.8	$f_{uk} = 500 \text{ N/mm}^2$	$f_{yk} = 400 \text{ N/mm}^2$	$A_5 > 8\%$
8.8	$f_{uk} = 800 \text{ N/mm}^2$	$f_{yk} = 640 \text{ N/mm}^2$	$A_5 > 8\%$			
2	Sechskantmutter	gemäß EN ISO 898-2:2012	4	für Gewindestangen der Klasse 4.6 oder 4.8		
			5	für Gewindestangen der Klasse 5.6 oder 5.8		
			8	für Gewindestangen der Klasse 8.8		
3a	Unterlegscheibe	Stahl, galvanisch verzinkt, feuerverzinkt oder diffusionsverzinkt (z.B.: EN ISO 887:2006, EN ISO 7089:2000, EN ISO 7093:2000 oder EN ISO 7094:2000)				
3b	Verfüllscheibe	Stahl, galvanisch verzinkt, feuerverzinkt oder diffusionsverzinkt				
4	Innengewindeankerstange	Festigkeitsklasse	Charakteristische Stahlfestigkeit	Charakteristische Streckgrenze	Bruchdehnung	
		gemäß EN ISO 898-1:2013	5.8	$f_{uk} = 500 \text{ N/mm}^2$	$f_{yk} = 400 \text{ N/mm}^2$	$A_5 > 8\%$
			8.8	$f_{uk} = 800 \text{ N/mm}^2$	$f_{yk} = 640 \text{ N/mm}^2$	$A_5 > 8\%$
<b>Nichtrostender Stahl A2</b> (Werkstoff 1.4301 / 1.4307 / 1.4311 / 1.4567 oder 1.4541, gemäß EN 10088-1:2014)						
<b>Nichtrostender Stahl A4</b> (Werkstoff 1.4401 / 1.4404 / 1.4571 / 1.4362 oder 1.4578, gemäß EN 10088-1:2014)						
<b>Hochkorrosionsbeständiger Stahl</b> (Werkstoff 1.4529 oder 1.4565, gemäß EN 10088-1:2014)						
1	Gewindestange <sup>1)3)</sup>	Festigkeitsklasse	Charakteristische Stahlfestigkeit	Charakteristische Streckgrenze	Bruchdehnung	
		gemäß EN ISO 3506-1:2009	50	$f_{uk} = 500 \text{ N/mm}^2$	$f_{yk} = 210 \text{ N/mm}^2$	$A_5 > 8\%$
			70	$f_{uk} = 700 \text{ N/mm}^2$	$f_{yk} = 450 \text{ N/mm}^2$	$A_5 > 8\%$
80	$f_{uk} = 800 \text{ N/mm}^2$		$f_{yk} = 600 \text{ N/mm}^2$	$A_5 > 8\%$		
2	Sechskantmutter <sup>1)3)</sup>	gemäß EN ISO 3506-1:2009	50	für Gewindestangen der Klasse 50		
			70	für Gewindestangen der Klasse 70		
			80	für Gewindestangen der Klasse 80		
3a	Unterlegscheibe	A2: Werkstoff 1.4301 / 1.4307 / 1.4311 / 1.4567 oder 1.4541, EN 10088-1:2014 A4: Werkstoff 1.4401 / 1.4404 / 1.4571 / 1.4362 oder 1.4578, EN 10088-1:2014 HCR: Werkstoff 1.4529 oder 1.4565, EN 10088-1:2014 (z.B.: EN ISO 887:2006, EN ISO 7089:2000, EN ISO 7093:2000 oder EN ISO 7094:2000)				
3b	Verfüllscheibe	Nichtrostender Stahl A4, Hochkorrosionsbeständiger Stahl				
4	Innengewindeankerstange <sup>1)2)</sup>	Festigkeitsklasse	Charakteristische Stahlfestigkeit	Charakteristische Streckgrenze	Bruchdehnung	
		gemäß EN ISO 3506-1:2009	50	$f_{uk} = 500 \text{ N/mm}^2$	$f_{yk} = 210 \text{ N/mm}^2$	$A_5 > 8\%$
			70	$f_{uk} = 700 \text{ N/mm}^2$	$f_{yk} = 450 \text{ N/mm}^2$	$A_5 > 8\%$
<sup>1)</sup> Festigkeitsklasse 70 für Gewindestangen bis M24 und Innengewindeankerstange bis IG-M16, <sup>2)</sup> für IG-M20 nur Festigkeitsklasse 50 <sup>3)</sup> Festigkeitsklasse 80 nur für nichtrostenden Stahl A4						
<b>Injection System ESSVE ONE, ESSVE ONE-ICE für Beton</b>					<b>Anhang A 4</b>	
<b>Produktbeschreibung</b> Werkstoffe Gewindestangen und Innengewindeankerstangen						

**Betonstahl  $\varnothing 8, \varnothing 10, \varnothing 12, \varnothing 14, \varnothing 16, \varnothing 20, \varnothing 25, \varnothing 28, \varnothing 32$**



- Mindestwerte der bezogenen Rippenfläche  $f_{R,min}$  gemäß EN 1992-1-1:2004+AC:2010
- Die Rippenhöhe muss  $0,05d \leq h \leq 0,07d$  betragen (d: Nenndurchmesser des Stabes; h: Rippenhöhe des Stabes)

**Tabelle A2: Werkstoffe**

Teil	Benennung	Werkstoff
<b>Betonstahl</b>		
1	Betonstahl gemäß EN 1992-1-1:2004+AC:2010, Anhang C	Stäbe und Betonstabstahl vom Ring Klasse B oder C $f_{yk}$ und k gemäß NDP oder NCL gemäß EN 1992-1-1/NA $f_{uk} = f_{tk} = k \cdot f_{yk}$

**Injection System ESSVE ONE, ESSVE ONE-ICE für Beton**

**Produktbeschreibung**  
Werkstoffe Betonstahl

**Anhang A 5**

## Spezifizierung des Verwendungszwecks

### Beanspruchung der Verankerung:

- Statische und quasi-statische Lasten: M8 bis M30, Rebar Ø8 bis Ø32, IG-M6 bis IG-M20.
- Seismische Einwirkung für Anforderungsstufe C1: M8 bis M30, Betonstahl Ø8 bis Ø32.

### Verankerungsgrund:

- Verdichteter, bewehrter oder unbewehrter Normalbeton ohne Fasern gemäß EN 206:2013 + A1:2016.
- Festigkeitsklasse C20/25 bis C50/60 gemäß EN 206:2013 + A1:2016.
- Ungerissener Beton: M8 bis M30, Betonstahl Ø8 bis Ø32, IG-M6 bis IG-M20.
- Gerissener Beton: M8 bis M30, Betonstahl Ø8 bis Ø32, IG-M6 bis IG-M20.

### Temperaturbereich:

- I: - 40 °C bis +40 °C (max. Langzeit-Temperatur +24 °C und max. Kurzzeit-Temperatur +40 °C)
- II: - 40 °C bis +80 °C (max. Langzeit-Temperatur +50 °C und max. Kurzzeit-Temperatur +80 °C)
- III: - 40 °C bis +120 °C (max. Langzeit-Temperatur +72 °C und max. Kurzzeit-Temperatur +120 °C)

### Anwendungsbedingungen (Umweltbedingungen):

- Bauteile unter den Bedingungen trockener Innenräume (alle Materialien).
- Für alle anderen Bedingungen gemäß EN 1993-1-4:2006+A1:2015 entsprechend der Korrosionsbeständigkeitsklassen:
  - Nichtrostender Stahl A2 nach Anhang A 4, Tabelle A1: CRC II
  - Nichtrostender Stahl A4 nach Anhang A 4, Tabelle A1: CRC III
  - Hochkorrosionsbeständiger Stahl HCR nach Anhang A 4, Tabelle A1: CRC V

### Bemessung:

- Unter Berücksichtigung der zu verankernden Lasten sind prüfbare Berechnungen und Konstruktionszeichnungen anzufertigen. Auf den Konstruktionszeichnungen ist die Lage des Dübels angegeben (z. B. Lage des Dübels zur Bewehrung oder zu den Auflagern usw.).
- Die Bemessung der Verankerungen erfolgt unter der Verantwortung eines auf dem Gebiet der Verankerungen und des Betonbaus erfahrenen Ingenieurs.
- Die Bemessung der Verankerungen erfolgt nach EN 1992-4:2018 und Technical Report TR 055, Fassung Februar 2018.

### Einbau:

- Trockener oder nasser Beton: M8 bis M30, Betonstahl Ø8 bis Ø32, IG-M6 bis IG-M20.
- Wassergefüllte Bohrlöcher (nicht Seewasser): M8 bis M16, Betonstahl Ø8 bis Ø16, IG-M6 bis IG-M10.
- Bohrlochherstellung durch Hammer- (HD), Hohl- (HDB) oder Pressluftbohren (CD).
- Überkopfmontage erlaubt.
- Einbau durch entsprechend geschultes Personal unter der Aufsicht des Bauleiters.
- Der Injektionsmörtel wurde für den Einbau bei einer Mindestbetontemperatur von -10°C bzw. -20°C bewertet, wobei anschließend die Temperatur im Beton nicht mit einer schnellen Geschwindigkeit ansteigen darf, z.B. von der Mindesteinbautemperatur auf 24°C innerhalb von 12 Stunden.

**Injection System ESSVE ONE, ESSVE ONE-ICE für Beton**

**Verwendungszweck**  
Spezifikationen

**Anhang B 1**

**Tabelle B1: Montagekennwerte für Ankerstangen**

Dübelgröße Ankerstangen		M8	M10	M12	M16	M20	M24	M27	M30	
Außendurchmesser des Ankers	$d_{nom}$ [mm] =	8	10	12	16	20	24	27	30	
Bohrernennendurchmesser	$d_0$ [mm] =	10	12	14	18	24	28	32	35	
Effektive Verankerungstiefe	$h_{ef,min}$ [mm] =	60	60	70	80	90	96	108	120	
	$h_{ef,max}$ [mm] =	160	200	240	320	400	480	540	600	
Durchgangsloch im anzuschließenden Bauteil	$d_f$ [mm] ≤	9	12	14	18	22	26	30	33	
Bürstendurchmesser	$d_b$ [mm] ≥	12	14	16	20	26	30	34	37	
Maximales Montagedrehmoment	$T_{inst}$ [Nm] ≤	10	20	40	80	120	160	180	200	
Mindestbauteildicke	$h_{min}$ [mm]	$h_{ef} + 30 \text{ mm} \geq 100 \text{ mm}$				$h_{ef} + 2d_0$				
Minimaler Achsabstand	$s_{min}$ [mm]	40	50	60	80	100	120	135	150	
Minimaler Randabstand	$c_{min}$ [mm]	40	50	60	80	100	120	135	150	

**Tabelle B2: Montagekennwerte für Betonstahl**

Größe Betonstahl		Ø 8	Ø 10	Ø 12	Ø 14	Ø 16	Ø 20	Ø 25	Ø 28	Ø 32	
Außendurchmesser des Ankers	$d_{nom}$ [mm] =	8	10	12	14	16	20	25	28	32	
Bohrernennendurchmesser	$d_0$ [mm] =	12	14	16	18	20	24	32	35	40	
Effektive Verankerungstiefe	$h_{ef,min}$ [mm] =	60	60	70	75	80	90	100	112	128	
	$h_{ef,max}$ [mm] =	160	200	240	280	320	400	500	580	640	
Bürstendurchmesser	$d_b$ [mm] ≥	14	16	18	20	22	26	34	37	41,5	
Mindestbauteildicke	$h_{min}$ [mm]	$h_{ef} + 30 \text{ mm} \geq 100 \text{ mm}$			$h_{ef} + 2d_0$						
Minimaler Achsabstand	$s_{min}$ [mm]	40	50	60	70	80	100	125	140	160	
Minimaler Randabstand	$c_{min}$ [mm]	40	50	60	70	80	100	125	140	160	

**Tabelle B3: Montagekennwerte für Innengewindeankerstangen**

Größe Innengewindeankerstangen		IG-M6	IG-M8	IG-M10	IG-M12	IG-M16	IG-M20	
Innendurchmesser des Ankers	$d_2$ [mm] =	6	8	10	12	16	20	
Außendurchmesser des Ankers <sup>1)</sup>	$d_{nom}$ [mm] =	10	12	16	20	24	30	
Bohrernennendurchmesser	$d_0$ [mm] =	12	14	18	22	28	35	
Effektive Verankerungstiefe	$h_{ef,min}$ [mm] =	60	70	80	90	96	120	
	$h_{ef,max}$ [mm] =	200	240	320	400	480	600	
Durchgangsloch im anzuschließenden Bauteil	$d_f$ [mm] =	7	9	12	14	18	22	
Maximales Montagedrehmoment	$T_{inst}$ [Nm] ≤	10	10	20	40	60	100	
Einschraublänge (min/max)	$l_{IG}$ [mm] =	8/20	8/20	10/25	12/30	16/32	20/40	
Mindestbauteildicke	$h_{min}$ [mm]	$h_{ef} + 30 \text{ mm} \geq 100 \text{ mm}$			$h_{ef} + 2d_0$			
Minimaler Achsabstand	$s_{min}$ [mm]	50	60	80	100	120	150	
Minimaler Randabstand	$c_{min}$ [mm]	50	60	80	100	120	150	

<sup>1)</sup> Mit metrischem Gewinde gemäß EN 1993-1-8:2005+AC:2009

**Injection System ESSVE ONE, ESSVE ONE-ICE für Beton**

Verwendungszweck  
Montagekennwerte

**Anhang B 2**

**Tabelle B4: Parameter für Reinigungs- und Setzzubehör**

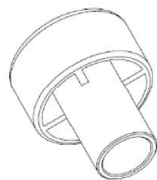
Anker- stangen	Betonstahl	Innen- gewinde- ankerstange	$d_0$ Bohrer - Ø HD, HDB, CA	$d_b$ Bürsten - Ø		$d_{b,min}$ min. Bürsten - Ø	Verfüll- stutzen	Installationsrichtung und Anwendung von Verfüllstutzen		
				[mm]	[mm]			[mm]		
M8			10	RBT10	12	10,5	Kein Verfüllstutzen notwendig			
M10	8	IG-M6	12	RBT12	14	12,5				
M12	10	IG-M8	14	RBT14	16	14,5				
	12		16	RBT16	18	16,5				
M16	14	IG-M10	18	RBT18	20	18,5	VS18	$h_{ef} >$ 250 mm	$h_{ef} >$ 250 mm	all
	16		20	RBT20	22	20,5	VS20			
M20	20	IG-M12	24	RBT24	26	24,5	VS24			
M24		IG-M16	28	RBT28	30	28,5	VS28			
M27	25		32	RBT32	34	32,5	VS32			
M30	28	IG-M20	35	RBT35	37	35,5	VS35			
	32		40	RBT40	41,5	40,5	VS40			



**MAC - Handpumpe (Volumen 750 ml)**  
Bohrerdurchmesser ( $d_0$ ): 10 mm bis 20 mm  
Bohrlochtiefe ( $h_0$ ):  $< 10 d_{nom}$   
Nur im ungerissenen Beton



**CAC - Empfohlene Druckluftpistole (min 6 bar)**  
Bohrerdurchmesser ( $d_0$ ): alle Durchmesser



**Verfüllstutzen VS**  
Bohrerdurchmesser ( $d_0$ ): 18 mm bis 40 mm

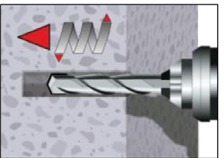
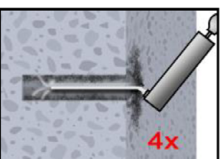
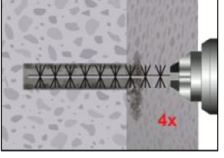
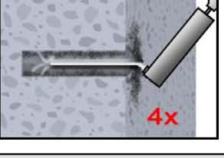
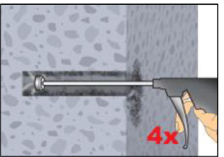
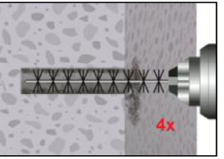
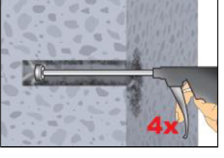


**Stahlbürste RBT**  
Bohrerdurchmesser ( $d_0$ ): alle Durchmesser

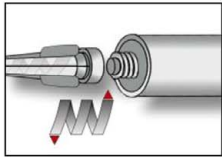
**Injection System ESSVE ONE, ESSVE ONE-ICE für Beton**

**Verwendungszweck**  
Reinigungs- und Installationszubehör

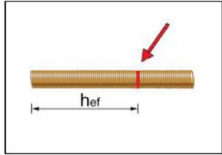
**Anhang B 3**

<b>Setzanweisung</b>	
<b>Bohrloch erstellen</b>	
	<p>1. Bohrloch drehschlagend mit vorgeschriebenem Bohrerdurchmesser (Tabelle B1, B2 oder B3) und gewählter Bohrlochtiefe mit Hammerbohrer (HD), Hohlbohrer (HDB) oder Druckluftbohrer (CD) erstellen. Der Hohlbohrer (HDB) ist nur in Verbindung mit einem geeigneten Staubsauger zu verwenden. Bei Fehlbohrungen ist das Bohrloch zu vermörteln.</p>
<b>Achtung! Vor der Reinigung muss im Bohrloch stehendes Wasser entfernt werden.</b>	
<b>MAC: Reinigung für Bohrerdurchmesser <math>d_0 \leq 20\text{mm}</math> und Bohrlochtiefe <math>h_0 \leq 10d_{\text{nom}}</math> (nur ungerissene Beton!); alle Bohrarten</b>	
	<p>2a. Das Bohrloch vom Bohrlochgrund her 4x vollständig mit einer Handpumpe<sup>1)</sup> (Anhang B 3) ausblasen.</p>
	<p>2b. Bürstendurchmesser prüfen (Tabelle B4). Das Bohrloch ist mit geeigneter Drahtbürste <math>&gt; d_{b,\text{min}}</math> (Tabelle B4) minimum 4x mit Drehbewegungen auszubürsten. Wird der Bohrlochgrund mit der Bürste nicht erreicht, muss eine Bürstenverlängerung verwendet werden.</p>
	<p>2c. Abschließend das Bohrloch erneut vom Bohrlochgrund her 4x vollständig mit einer Handpumpe<sup>1)</sup> (Anhang B 3) ausblasen.</p>
<p><sup>1)</sup> Bohrlöcher mit Durchmesser zwischen 14 mm und 20 mm und bis zu einer Setztiefe von <math>10d_{\text{nom}}</math> dürfen auch in gerissenem Beton mit der Handpumpe ausgeblasen werden.</p>	
<b>CAC: Reinigung für alle Bohrerdurchmesser in gerissenem und ungerissenem Beton; alle Bohrarten</b>	
	<p>2a. Das Bohrloch vom Bohrlochgrund her 4x vollständig mit Druckluft (min. 6 bar) (Anhang B 3) ausblasen, bis die ausströmende Luft staubfrei ist. Bei tiefen Bohrlöchern sind Verlängerungen zu verwenden.</p>
	<p>2b. Bürstendurchmesser prüfen (Tabelle B4). Das Bohrloch ist mit geeigneter Drahtbürste <math>&gt; d_{b,\text{min}}</math> (Tabelle B4) minimum 4x mit Drehbewegungen auszubürsten. Bei tiefen Bohrlöchern geeignete Bürstenverlängerung benutzen.</p>
	<p>2c. Abschließend das Bohrloch erneut vom Bohrlochgrund her 4x vollständig mit Druckluft (min. 6 bar) (Anhang B 3) ausblasen, bis die ausströmende Luft staubfrei ist. Bei tiefen Bohrlöchern sind Verlängerungen zu verwenden.</p>
<p>Nach der Reinigung ist das Bohrloch bis zum Injizieren des Mörtels vor erneutem Verschmutzen in einer geeigneten Weise zu schützen. Ggf. ist die Reinigung unmittelbar vor dem Injizieren des Mörtels zu wiederholen. Einfließendes Wasser darf nicht zur erneuten Verschmutzung des Bohrloches führen.</p>	
<b>Injection System ESSVE ONE, ESSVE ONE-ICE für Beton</b>	
<b>Verwendungszweck</b> Setzanweisung	<b>Anhang B 4</b>

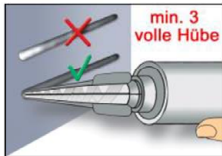
## Setzanweisung (Fortsetzung)



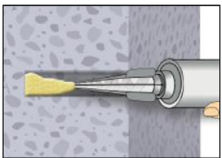
3. Den mitgelieferten Statikmischer fest auf die Kartusche aufschrauben und Kartusche in eine geeignete Auspresspistole einlegen. Den Schlauchfolienclip vor der Verwendung abschneiden. Bei jeder Arbeitsunterbrechung länger als die maximale Verarbeitungszeit (Anhang B 6) und bei jeder neuen Kartusche ist der Statikmischer zu erneuern.



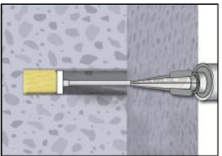
4. Vor dem Injizieren des Mörtels die geforderte Setztiefe auf der Ankerstange markieren.



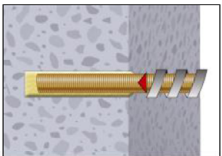
5. Der Mörtelvorlauf ist nicht zur Befestigung der Ankerstange geeignet. Daher den Vorlauf solange verwerfen, bis sich eine gleichmäßig graue Mischfarbe eingestellt hat, jedoch min. 3 volle Hübe. Bei Schlauchfoliengebunden sind min. 6 volle Hübe zu verwerfen.



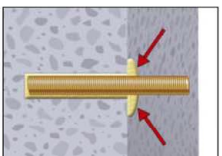
6. Gereinigtes Bohrloch vom Bohrlochgrund her ca. zu 2/3 mit Verbundmörtel befüllen. Langsames Zurückziehen des Statikmischers aus dem Bohrloch verhindert die Bildung von Lufteinschlüssen. Wird der Bohrlochgrund nicht erreicht, muss eine passende Mischerverlängerung verwendet werden. Die temperaturrelevanten Verarbeitungszeiten (Anhang B 6) sind zu beachten.



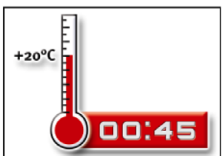
7. Verfüllstutzen und Mischerverlängerung sind gem. Tabelle B4 für die folgenden Anwendungen zu verwenden:
- Horizontalmontage (horizontal Richtung) und Bodenmontage (vertikal Richtung nach unten): Bohrer- $\varnothing$   $d_0 \geq 18$  mm und Setztiefe  $h_{ef} > 250$  mm
  - Überkopfmontage (vertikale Richtung nach oben): Bohrer- $\varnothing$   $d_0 \geq 18$  mm



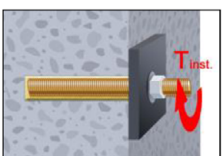
8. Befestigungselement mit leichten Drehbewegungen bis zur festgelegten Setztiefe einführen. Die Ankerstange muss schmutz-, fett-, und ölfrei sein.



9. Nach der Installation des Ankers muss der Ringspalt komplett mit Mörtel ausgefüllt sein. Tritt keine Masse nach Erreichen der Verankerungstiefe heraus, ist diese Voraussetzung nicht erfüllt und die Anwendung muss vor Beendigung der Verarbeitungszeit wiederholt werden. Bei Überkopfmontage ist die Ankerstange zu fixieren (z.B. Holzkeile).



10. Die angegebene Aushärtezeit muss eingehalten werden. Anker während der Aushärtezeit nicht bewegen oder belasten. (siehe Anhang B 6).



11. Nach vollständiger Aushärtung kann das Anbauteil mit bis zu dem maximalen Drehmoment (Tabelle B1 oder B3) montiert werden. Die Mutter muss mit einem kalibriertem Drehmomentschlüssel festgezogen werden. Optional kann der Ringspalt zwischen Ankerstange und Anbauteil mit Mörtel verfüllt werden. Dafür Unterlegscheibe durch Verfüllscheibe ersetzen und Mischerrreduzierung auf den Mischer stecken. Der Ringspalt ist verfüllt, wenn Mörtel austritt.

### Injection System ESSVE ONE, ESSVE ONE-ICE für Beton

Verwendungszweck  
Setzanweisung (Fortsetzung)

Anhang B 5

**Tabelle B5: Maximale Verarbeitungszeiten und minimale Aushärtezeiten  
ESSVE ONE**

Beton Temperatur	Verarbeitungszeit	Mindest-Aushärtezeit in trockenem Beton <sup>1)</sup>
-10 °C bis -6°C	90 min <sup>2)</sup>	24 h <sup>2)</sup>
-5 °C bis -1°C	90 min	14 h
0 °C bis +4°C	45 min	7 h
+5 °C bis +9°C	25 min	2 h
+ 10 °C bis +19°C	15 min	80 min
+ 20 °C bis +29°C	6 min	45 min
+ 30 °C bis +34°C	4 min	25 min
+ 35 °C bis +39°C	2 min	20 min
+ 40 °C	1,5 min	15 min
Kartuschentemperatur	+5°C bis +40°C	

<sup>1)</sup> Die Aushärtezeiten in feuchtem Beton sind zu verdoppeln.

<sup>2)</sup> Die Kartuschentemperatur muss min. +15°C betragen.

**Tabelle B6: Maximale Verarbeitungszeiten und minimale Aushärtezeiten  
ESSVE ONE-ICE**

Beton Temperatur	Verarbeitungszeit	Mindest-Aushärtezeit in trockenem Beton <sup>1)</sup>
-20 °C bis -16°C	75 min	24 h
-15 °C bis -11°C	55 min	16 h
-10 °C bis -6°C	35 min	10 h
-5 °C bis -1°C	20 min	5 h
0 °C bis +4°C	10 min	2,5 h
+5 °C bis +9°C	6 min	80 Min
+ 10 °C	6 min	60 Min
Kartuschentemperatur	-20°C bis +10°C	

<sup>1)</sup> Die Aushärtezeiten in feuchtem Beton sind zu verdoppeln.

**Injection System ESSVE ONE, ESSVE ONE-ICE für Beton**

**Verwendungszweck**  
Aushärtezeit

**Anhang B 6**

**Tabelle C1: Charakteristische Werte der Stahlzugtragfähigkeit und Stahlquerzugtragfähigkeit von Gewindestangen**

Größe Gewindestangen			M8	M10	M12	M16	M20	M24	M27	M30	
Spannungsquerschnitt	$A_s$	[mm <sup>2</sup> ]	36,6	58	84,3	157	245	353	459	561	
<b>Charakteristische Zugtragfähigkeit, Stahlversagen <sup>1)</sup></b>											
Stahl, Festigkeitsklasse 4.6 und 4.8	$N_{Rk,s}$	[kN]	15 (13)	23 (21)	34	63	98	141	184	224	
Stahl, Festigkeitsklasse 5.6 und 5.8	$N_{Rk,s}$	[kN]	18 (17)	29 (27)	42	78	122	176	230	280	
Stahl, Festigkeitsklasse 8.8	$N_{Rk,s}$	[kN]	29 (27)	46 (43)	67	125	196	282	368	449	
Nichtrostender Stahl A2, A4 und HCR, Klasse 50	$N_{Rk,s}$	[kN]	18	29	42	79	123	177	230	281	
Nichtrostender Stahl A2, A4 und HCR, Klasse 70	$N_{Rk,s}$	[kN]	26	41	59	110	171	247	-	-	
Nichtrostender Stahl A4 und HCR, Klasse 80	$N_{Rk,s}$	[kN]	29	46	67	126	196	282	-	-	
<b>Charakteristische Zugtragfähigkeit, Teilsicherheitsbeiwert <sup>2)</sup></b>											
Stahl, Festigkeitsklasse 4.6 und 5.6	$\gamma_{Ms,N}$	[-]	2,0								
Stahl, Festigkeitsklasse 4.8, 5.8 und 8.8	$\gamma_{Ms,N}$	[-]	1,5								
Nichtrostender Stahl A2, A4 und HCR, Klasse 50	$\gamma_{Ms,N}$	[-]	2,86								
Nichtrostender Stahl A2, A4 und HCR, Klasse 70	$\gamma_{Ms,N}$	[-]	1,87								
Nichtrostender Stahl A4 und HCR, Klasse 80	$\gamma_{Ms,N}$	[-]	1,6								
<b>Charakteristische Quertragfähigkeit, Stahlversagen <sup>1)</sup></b>											
Ohne Hebelarm	Stahl, Festigkeitsklasse 4.6 und 4.8	$V^0_{Rk,s}$	[kN]	9 (8)	14 (13)	20	38	59	85	110	135
	Stahl, Festigkeitsklasse 5.6 und 5.8	$V^0_{Rk,s}$	[kN]	11 (10)	17 (16)	25	47	74	106	138	168
	Stahl, Festigkeitsklasse 8.8	$V^0_{Rk,s}$	[kN]	15 (13)	23 (21)	34	63	98	141	184	224
	Nichtrostender Stahl A2, A4 und HCR, Klasse 50	$V^0_{Rk,s}$	[kN]	9	15	21	39	61	88	115	140
	Nichtrostender Stahl A2, A4 und HCR, Klasse 70	$V^0_{Rk,s}$	[kN]	13	20	30	55	86	124	-	-
	Nichtrostender Stahl A4 und HCR, Klasse 80	$V^0_{Rk,s}$	[kN]	15	23	34	63	98	141	-	-
Mit Hebelarm	Stahl, Festigkeitsklasse 4.6 und 4.8	$M^0_{Rk,s}$	[Nm]	15 (13)	30 (27)	52	133	260	449	666	900
	Stahl, Festigkeitsklasse 5.6 und 5.8	$M^0_{Rk,s}$	[Nm]	19 (16)	37 (33)	65	166	324	560	833	1123
	Stahl, Festigkeitsklasse 8.8	$M^0_{Rk,s}$	[Nm]	30 (26)	60 (53)	105	266	519	896	1333	1797
	Nichtrostender Stahl A2, A4 und HCR, Klasse 50	$M^0_{Rk,s}$	[Nm]	19	37	66	167	325	561	832	1125
	Nichtrostender Stahl A2, A4 und HCR, Klasse 70	$M^0_{Rk,s}$	[Nm]	26	52	92	232	454	784	-	-
	Nichtrostender Stahl A4 und HCR, Klasse 80	$M^0_{Rk,s}$	[Nm]	30	59	105	266	519	896	-	-
<b>Charakteristische Quertragfähigkeit, Teilsicherheitsbeiwert <sup>2)</sup></b>											
Stahl, Festigkeitsklasse 4.6 und 5.6	$\gamma_{Ms,V}$	[-]	1,67								
Stahl, Festigkeitsklasse 4.8, 5.8 und 8.8	$\gamma_{Ms,V}$	[-]	1,25								
Nichtrostender Stahl A2, A4 und HCR, Klasse 50	$\gamma_{Ms,V}$	[-]	2,38								
Nichtrostender Stahl A2, A4 und HCR, Klasse 70	$\gamma_{Ms,V}$	[-]	1,56								
Nichtrostender Stahl A4 und HCR, Klasse 80	$\gamma_{Ms,V}$	[-]	1,33								

<sup>1)</sup> Werte sind nur gültig für den hier angegebenen Spannungsquerschnitt  $A_s$ . Die Werte in Klammern gelten für unterdimensionierte Gewindestange mit geringerem Spannungsquerschnitt  $A_s$  für feuerverzinkte Gewindestangen gemäß EN ISO 10684:2004+AC:2009.

<sup>2)</sup> Sofern andere nationalen Regelungen fehlen

**Injection System ESSVE ONE, ESSVE ONE-ICE für Beton**

**Leistungen**

Charakteristische Werte der Stahlzugtragfähigkeit und Stahlquerzugtragfähigkeit von Gewindestangen

**Anhang C 1**

**Tabelle C2: Charakteristische Werte für Betonausbruch und Spalten für alle Belastungsarten**

Dübelgröße			Alle Dübelarten und -größen	
<b>Betonausbruch</b>				
ungerissener Beton	$k_{ucr,N}$	[-]	11,0	
gerissener Beton	$k_{cr,N}$	[-]	7,7	
Randabstand	$c_{cr,N}$	[mm]	$1,5 h_{ef}$	
Achsabstand	$s_{cr,N}$	[mm]	$2 c_{cr,N}$	
<b>Spalten</b>				
Randabstand	$h/h_{ef} \geq 2,0$	$c_{cr,sp}$	[mm]	$1,0 h_{ef}$
	$2,0 > h/h_{ef} > 1,3$			$2 \cdot h_{ef} \left( 2,5 - \frac{h}{h_{ef}} \right)$
	$h/h_{ef} \leq 1,3$			$2,4 h_{ef}$
Achsabstand	$s_{cr,sp}$	[mm]	$2 c_{cr,sp}$	
<b>Injection System ESSVE ONE, ESSVE ONE-ICE für Beton</b>				<b>Anhang C 2</b>
<b>Leistungen</b> Charakteristische Werte der Zugtragfähigkeit unter statischer und quasi-statischer Belastung				

<b>Tabelle C3: Charakteristische Werte der Zugtragfähigkeit unter statischer und quasi-statischer Belastung</b>													
<b>Dübelgröße Gewindestangen</b>				M8	M10	M12	M16	M20	M24	M27	M30		
<b>Stahlversagen</b>													
Charakteristische Zugtragfähigkeit				$N_{Rk,s}$	[kN]	$A_s \cdot f_{uk}$ (oder siehe Tabelle C1)							
Teilsicherheitsbeiwert				$\gamma_{Ms,N}$	[-]	siehe Tabelle C1							
<b>Kombiniertes Versagen durch Herausziehen und Betonausbruch</b>													
Charakteristische Verbundtragfähigkeit im ungerissenen Beton C20/25													
Temperaturbereich	I: 40°C/24°C	trockener und feuchter Beton	$\tau_{Rk,ucr}$	[N/mm <sup>2</sup> ]	10	12	12	12	12	11	10	9	
	II: 80°C/50°C				7,5	9	9	9	9	8,5	7,5	6,5	
	III: 120°C/72°C				5,5	6,5	6,5	6,5	6,5	6,5	5,5	5,0	
	I: 40°C/24°C	wassergefülltes Bohrloch			7,5	8,5	8,5	8,5	Leistung nicht bewertet (NPA)				
	II: 80°C/50°C				5,5	6,5	6,5	6,5					
	III: 120°C/72°C				4,0	5,0	5,0	5,0					
Charakteristische Verbundtragfähigkeit im gerissenen Beton C20/25													
Temperaturbereich	I: 40°C/24°C	trockener und feuchter Beton	$\tau_{Rk,cr}$	[N/mm <sup>2</sup> ]	4,0	5,0	5,5	5,5	5,5	5,5	6,5	6,5	
	II: 80°C/50°C				2,5	3,5	4,0	4,0	4,0	4,0	4,5	4,5	
	III: 120°C/72°C				2,0	2,5	3,0	3,0	3,0	3,0	3,5	3,5	
	I: 40°C/24°C	wassergefülltes Bohrloch			4,0	4,0	5,5	5,5	Leistung nicht bewertet (NPA)				
	II: 80°C/50°C				2,5	3,0	4,0	4,0					
	III: 120°C/72°C				2,0	2,5	3,0	3,0					
Reduktionsfaktor $\psi_{sus}^0$ im gerissenen und ungerissenen Beton C20/25													
Temperaturbereich	I: 40°C/24°C	trockener und feuchter Beton, sowie wassergefülltes Bohrloch	$\psi_{sus}^0$	[-]	0,73								
	II: 80°C/50°C				0,65								
	III: 120°C/72°C				0,57								
Erhöhungsfaktor für Beton $\psi_c$	C25/30			1,02									
	C30/37			1,04									
	C35/45			1,07									
	C40/50			1,08									
	C45/55			1,09									
	C50/60			1,10									
<b>Betonausbruch</b>													
Relevante Parameter				siehe Tabelle C2									
<b>Spalten</b>													
Relevante Parameter				siehe Tabelle C2									
<b>Montagebeiwert</b>													
für trockenen und feuchten Beton				$\gamma_{inst}$	[-]	1,0	1,2						
für wassergefülltes Bohrloch						1,4			NPA				
<b>Injection System ESSVE ONE, ESSVE ONE-ICE für Beton</b>										<b>Anhang C 3</b>			
<b>Leistungen</b> Charakteristische Werte der Zugtragfähigkeit unter statischer und quasi-statischer Belastung													

**Tabelle C4: Charakteristische Werte der Querkzugtragfähigkeit unter statischer und quasi-statischer Belastung**

Dübelgröße Gewindestangen			M8	M10	M12	M16	M20	M24	M27	M30	
<b>Stahlversagen ohne Hebelarm</b>											
Charakteristische Querkzugtragfähigkeit Stahl, Festigkeitsklasse 4.6, 4.8, 5.6 und 5.8	$V_{Rk,s}^0$	[kN]	0,6 · $A_s$ · $f_{uk}$ (oder siehe Tabelle C1)								
Charakteristische Querkzugtragfähigkeit Stahl, Festigkeitsklasse 8.8 Nichtrostender Stahl A2, A4 und HCR, alle Festigkeitsklassen	$V_{Rk,s}^0$	[kN]	0,5 · $A_s$ · $f_{uk}$ (oder siehe Tabelle C1)								
Teilsicherheitsbeiwert	$\gamma_{Ms,V}$	[-]	siehe Tabelle C1								
Duktilitätsfaktor	$k_7$	[-]	1,0								
<b>Stahlversagen mit Hebelarm</b>											
Charakteristisches Biegemoment	$M_{Rk,s}^0$	[Nm]	1,2 · $W_{el}$ · $f_{uk}$ (oder siehe Tabelle C1)								
Elastisches Widerstandsmoment	$W_{el}$	[mm <sup>3</sup> ]	31	62	109	277	541	935	1387	1874	
Teilsicherheitsbeiwert	$\gamma_{Ms,V}$	[-]	siehe Tabelle C1								
<b>Betonausbruch auf der lastabgewandten Seite</b>											
Faktor	$k_8$	[-]	2,0								
Montagebeiwert	$\gamma_{inst}$	[-]	1,0								
<b>Betonkantenbruch</b>											
Effektive Dübellänge	$l_f$	[mm]	min( $h_{ef}$ ; 12 · $d_{nom}$ )						min( $h_{ef}$ ; 300mm)		
Außendurchmesser des Dübels	$d_{nom}$	[mm]	8	10	12	16	20	24	27	30	
Montagebeiwert	$\gamma_{inst}$	[-]	1,0								
<b>Injection System ESSVE ONE, ESSVE ONE-ICE für Beton</b>									<b>Anhang C 4</b>		
<b>Leistungen</b> Charakteristische Werte der Querkzugtragfähigkeit unter statischer und quasi-statischer Belastung											

<b>Tabelle C5: Charakteristische Werte der Zugtragfähigkeit unter statischer und quasi-statischer Belastung</b>											
<b>Dübelgröße Innengewindeankerstangen</b>			<b>IG-M6</b>	<b>IG-M8</b>	<b>IG-M10</b>	<b>IG-M12</b>	<b>IG-M16</b>	<b>IG-M20</b>			
<b>Stahlversagen<sup>1)</sup></b>											
Charakteristische Zugtragfähigkeit, Stahl, $\frac{5.8}{8.8}$			$N_{Rk,s}$	[kN]	10	17	29	42	76	123	
Festigkeitsklasse					16	27	46	67	121	196	
Teilsicherheitsbeiwert 5.8 und 8.8			$\gamma_{Ms,N}$	[-]	1,5						
Charakteristische Zugtragfähigkeit, Nichtrostender Stahl A4 und HCR, Klasse 70 <sup>2)</sup>			$N_{Rk,s}$	[kN]	14	26	41	59	110	124	
Teilsicherheitsbeiwert					$\gamma_{Ms,N}$	[-]	1,87				
<b>Kombiniertes Versagen durch Herausziehen und Betonausbruch</b>											
Charakteristische Verbundtragfähigkeit im ungerissenen Beton C20/25											
Temperaturbereich	I: 40°C/24°C	trockener und feuchter Beton	$\tau_{Rk,ucr}$	[N/mm <sup>2</sup> ]	12	12	12	12	11	9	
	II: 80°C/50°C				9	9	9	9	8,5	6,5	
	III: 120°C/72°C				6,5	6,5	6,5	6,5	6,5	5,0	
	I: 40°C/24°C	wassergefülltes Bohrloch			8,5	8,5	8,5	Leistung nicht bewertet (NPA)			
	II: 80°C/50°C				6,5	6,5	6,5				
	III: 120°C/72°C				5,0	5,0	5,0				
Charakteristische Verbundtragfähigkeit im gerissenen Beton C20/25											
Temperaturbereich	I: 40°C/24°C	trockener und feuchter Beton	$\tau_{Rk,cr}$	[N/mm <sup>2</sup> ]	5,0	5,5	5,5	5,5	5,5	6,5	
	II: 80°C/50°C				3,5	4,0	4,0	4,0	4,0	4,5	
	III: 120°C/72°C				2,5	3,0	3,0	3,0	3,0	3,5	
	I: 40°C/24°C	wassergefülltes Bohrloch			4,0	5,5	5,5	Leistung nicht bewertet (NPA)			
	II: 80°C/50°C				3,0	4,0	4,0				
	III: 120°C/72°C				2,5	3,0	3,0				
Reduktionsfaktor $\psi_{sus}^0$ im gerissenen und ungerissenen Beton C20/25											
Temperaturbereich	I: 40°C/24°C	trockener und feuchter Beton, sowie wassergefülltes Bohrloch	$\psi_{sus}^0$	[-]	0,73						
	II: 80°C/50°C				0,65						
	III: 120°C/72°C				0,57						
Erhöhungsfaktor für Beton $\psi_c$				C25/30	1,02						
				C30/37	1,04						
				C35/45	1,07						
				C40/50	1,08						
				C45/55	1,09						
				C50/60	1,10						
<b>Betonausbruch</b>											
Relevante Parameter			siehe Tabelle C2								
<b>Spalten</b>											
Relevante Parameter			siehe Tabelle C2								
<b>Montagebeiwert</b>											
für trockenen und feuchten Beton			$\gamma_{inst}$	[-]	1,2						
für wassergefülltes Bohrloch					1,4	NPA					
<sup>1)</sup> Befestigungsschrauben oder Gewindestangen (inkl. Scheibe und Mutter) müssen mindestens der gewählten Festigkeitsklasse der Innengewindehülsen entsprechen. Die charakteristischen Tragfähigkeiten für Stahlversagen der angegebenen Festigkeitsklasse gelten für die Innengewindestange und die zugehörigen Befestigungsmittel. <sup>2)</sup> für IG-M20 Festigkeitsklasse 50 gültig											
<b>Injection System ESSVE ONE, ESSVE ONE-ICE für Beton</b>								<b>Anhang C 5</b>			
<b>Leistungen</b> Charakteristische Werte der Zugtragfähigkeit unter statischer und quasi-statischer Belastung											

**Tabelle C6: Charakteristische Werte der Querkzugtragfähigkeit unter statischer und quasi-statischer Belastung**

Dübelgröße Innengewindeankerstangen			IG-M6	IG-M8	IG-M10	IG-M12	IG-M16	IG-M20
<b>Stahlversagen ohne Hebelarm<sup>1)</sup></b>								
Charakteristische Querkzugtragfähigkeit, Stahl, Festigkeitsklasse	5.8	$V_{RK,s}^0$ [kN]	5	9	15	21	38	61
	8.8	$V_{RK,s}^0$ [kN]	8	14	23	34	60	98
Teilsicherheitsbeiwert 5.8 und 8.8		$\gamma_{Ms,V}$ [-]	1,25					
Charakteristische Querkzugtragfähigkeit, nicht-rostender Stahl A4 und HCR, Festigkeitsklasse 70 <sup>2)</sup>		$V_{RK,s}^0$ [kN]	7	13	20	30	55	40
	Teilsicherheitsbeiwert		$\gamma_{Ms,V}$ [-]	1,56				
Duktilitätsfaktor		$k_7$ [-]	1,0					
<b>Stahlversagen mit Hebelarm<sup>1)</sup></b>								
Charakteristisches Biegemoment, Stahl, Festigkeitsklasse	5.8	$M_{RK,s}^0$ [Nm]	8	19	37	66	167	325
	8.8	$M_{RK,s}^0$ [Nm]	12	30	60	105	267	519
Teilsicherheitsbeiwert 5.8 und 8.8		$\gamma_{Ms,V}$ [-]	1,25					
Charakteristisches Biegemoment, nicht-rostender Stahl A4 und HCR, Festigkeitsklasse 70 <sup>2)</sup>		$M_{RK,s}^0$ [Nm]	11	26	52	92	233	456
	Teilsicherheitsbeiwert		$\gamma_{Ms,V}$ [-]	1,56				
<b>Betonausbruch auf der lastabgewandten Seite</b>								
Faktor		$k_8$ [-]	2,0					
Montagebeiwert		$\gamma_{inst}$ [-]	1,0					
<b>Betonkantenbruch</b>								
Effektive Dübellänge		$l_f$ [mm]	$\min(h_{ef}; 12 \cdot d_{nom})$					$\min(h_{ef}; 300\text{mm})$
Außendurchmesser des Dübels		$d_{nom}$ [mm]	10	12	16	20	24	30
Montagebeiwert		$\gamma_{inst}$ [-]	1,0					
<sup>1)</sup> Befestigungsschrauben oder Gewindestangen (inkl. Scheibe und Mutter) müssen mindestens der gewählten Festigkeitsklasse der Innengewindehülsen entsprechen. Die charakteristischen Tragfähigkeiten für Stahlversagen der angegebenen Festigkeitsklasse gelten für die Innengewindestange und die zugehörigen Befestigungsmittel. <sup>2)</sup> für IG-M20 Festigkeitsklasse 50 gültig								
<b>Injection System ESSVE ONE, ESSVE ONE-ICE für Beton</b>							<b>Anhang C 6</b>	
<b>Leistungen</b> Charakteristische Werte der Querkzugtragfähigkeit unter statischer und quasi-statischer Belastung								

**Tabelle C7: Charakteristische Werte der Zugtragfähigkeit unter statischer und quasi-statischer Belastung**

Dübelgröße Betonstahl			Ø 8	Ø 10	Ø 12	Ø 14	Ø 16	Ø 20	Ø 25	Ø 28	Ø 32			
<b>Stahlversagen</b>														
Charakteristische Zugtragfähigkeit	$N_{Rk,s}$	[kN]	$A_s \cdot f_{uk}^{1)}$											
Stahlspannungsquerschnitt	$A_s$	[mm <sup>2</sup> ]	50	79	113	154	201	314	491	616	804			
Teilsicherheitsbeiwert	$\gamma_{Ms,N}$	[-]	1,4 <sup>2)</sup>											
<b>Kombiniertes Versagen durch Herausziehen und Betonausbruch</b>														
Charakteristische Verbundtragfähigkeit im ungerissenen Beton C20/25														
Temperaturbereich	I: 40°C/24°C	trockener und feuchter Beton	$\tau_{Rk,ucr}$	[N/mm <sup>2</sup> ]	10	12	12	12	12	12	11	10	8,5	
	II: 80°C/50°C				7,5	9	9	9	9	9	8,0	7,0	6,0	
	III: 120°C/72°C				5,5	6,5	6,5	6,5	6,5	6,5	6,0	5,0	4,5	
	I: 40°C/24°C	wassergefülltes Bohrloch			7,5	8,5	8,5	8,5	8,5	Leistung nicht bewertet (NPA)				
	II: 80°C/50°C				5,5	6,5	6,5	6,5	6,5					
	III: 120°C/72°C				4,0	5,0	5,0	5,0	5,0					
Charakteristische Verbundtragfähigkeit im gerissenen Beton C20/25														
Temperaturbereich	I: 40°C/24°C	trockener und feuchter Beton	$\tau_{Rk,cr}$	[N/mm <sup>2</sup> ]	4,0	5,0	5,5	5,5	5,5	5,5	5,5	6,5	6,5	
	II: 80°C/50°C				2,5	3,5	4,0	4,0	4,0	4,0	4,0	4,5	4,5	
	III: 120°C/72°C				2,0	2,5	3,0	3,0	3,0	3,0	3,0	3,5	3,5	
	I: 40°C/24°C	wassergefülltes Bohrloch			4,0	4,0	5,5	5,5	5,5	Leistung nicht bewertet (NPA)				
	II: 80°C/50°C				2,5	3,0	4,0	4,0	4,0					
	III: 120°C/72°C				2,0	2,5	3,0	3,0	3,0					
Reduktionsfaktor $\psi_{SUS}^0$ im gerissenen und ungerissenen Beton C20/25														
Temperaturbereich	I: 40°C/24°C	trockener und feuchter Beton, sowie wassergefülltes Bohrloch	$\psi_{SUS}^0$	[-]	0,73									
	II: 80°C/50°C				0,65									
	III: 120°C/72°C				0,57									
Erhöhungsfaktor für Beton $\psi_c$	C25/30			1,02										
	C30/37			1,04										
	C35/45			1,07										
	C40/50			1,08										
	C45/55			1,09										
	C50/60			1,10										
<b>Betonausbruch</b>														
Relevante Parameter			siehe Tabelle C2											
<b>Spalten</b>														
Relevante Parameter			siehe Tabelle C2											
<b>Montagebeiwert</b>														
für trockenen und feuchten Beton		$\gamma_{inst}$	[-]	1,0	1,2									
für wassergefülltes Bohrloch				1,4					NPA					
<sup>1)</sup> $f_{uk}$ ist den Spezifikationen des Betonstahls zu entnehmen <sup>2)</sup> Sofern andere nationalen Regelungen fehlen														
<b>Injection System ESSVE ONE, ESSVE ONE-ICE für Beton</b>										<b>Anhang C 7</b>				
<b>Leistungen</b> Charakteristische Werte der Zugtragfähigkeit unter statischer und quasi-statischer Belastung														

<b>Tabelle C8: Charakteristische Werte der Querkzugtragfähigkeit unter statischer und quasi-statischer Belastung</b>											
<b>Dübelgröße Betonstahl</b>			Ø 8	Ø 10	Ø 12	Ø 14	Ø 16	Ø 20	Ø 25	Ø 28	Ø 32
<b>Stahlversagen ohne Hebelarm</b>											
Charakteristische Querkzugtragfähigkeit	$V_{Rk,s}^0$	[kN]	$0,50 \cdot A_s \cdot f_{uk}^{2)}$								
Stahlspannungsquerschnitt	$A_s$	[mm <sup>2</sup> ]	50	79	113	154	201	314	491	616	804
Teilsicherheitsbeiwert	$\gamma_{Ms,V}$	[-]	1,5 <sup>2)</sup>								
Duktilitätsfaktor	$k_7$	[-]	1,0								
<b>Stahlversagen mit Hebelarm</b>											
Charakteristische Biegemoment	$M_{Rk,s}^0$	[Nm]	$1,2 \cdot W_{el} \cdot f_{uk}^{1)}$								
Elastisches Widerstandsmoment	$W_{el}$	[mm <sup>3</sup> ]	50	98	170	269	402	785	1534	2155	3217
Teilsicherheitsbeiwert	$\gamma_{Ms,V}$	[-]	1,5 <sup>2)</sup>								
<b>Betonausbruch auf der lastabgewandten Seite</b>											
Faktor	$k_8$	[-]	2,0								
Montagebeiwert	$\gamma_{inst}$	[-]	1,0								
<b>Betonkantenbruch</b>											
Effektive Dübellänge	$l_f$	[mm]	$\min(h_{ef}; 12 \cdot d_{nom})$						$\min(h_{ef}; 300\text{mm})$		
Außendurchmesser des Dübels	$d_{nom}$	[mm]	8	10	12	14	16	20	25	28	32
Montagebeiwert	$\gamma_{inst}$	[-]	1,0								
<sup>1)</sup> $f_{uk}$ ist den Spezifikationen des Betonstahls zu entnehmen <sup>2)</sup> Sofern andere nationalen Regelungen fehlen											
<b>Injection System ESSVE ONE, ESSVE ONE-ICE für Beton</b>									<b>Anhang C 8</b>		
<b>Leistungen</b> Charakteristische Werte der Querkzugtragfähigkeit unter statischer und quasi-statischer Belastung											

**Tabelle C9: Verschiebung unter Zugbeanspruchung<sup>1)</sup> (Gewindestange)**

Dübelgröße Gewindestange			M8	M10	M12	M16	M20	M24	M27	M30
<b>Ungerissener Beton C20/25 unter statischer und quasi-statischer Belastung</b>										
Temperaturbereich I: 40°C/24°C	$\delta_{N0}$ -Faktor	[mm/(N/mm <sup>2</sup> )]	0,021	0,023	0,026	0,031	0,036	0,041	0,045	0,049
	$\delta_{N\infty}$ -Faktor	[mm/(N/mm <sup>2</sup> )]	0,030	0,033	0,037	0,045	0,052	0,060	0,065	0,071
Temperaturbereich II: 80°C/50°C	$\delta_{N0}$ -Faktor	[mm/(N/mm <sup>2</sup> )]	0,050	0,056	0,063	0,075	0,088	0,100	0,110	0,119
	$\delta_{N\infty}$ -Faktor	[mm/(N/mm <sup>2</sup> )]	0,072	0,081	0,090	0,108	0,127	0,145	0,159	0,172
Temperaturbereich III: 120°C/72°C	$\delta_{N0}$ -Faktor	[mm/(N/mm <sup>2</sup> )]	0,050	0,056	0,063	0,075	0,088	0,100	0,110	0,119
	$\delta_{N\infty}$ -Faktor	[mm/(N/mm <sup>2</sup> )]	0,072	0,081	0,090	0,108	0,127	0,145	0,159	0,172
<b>Gerissener Beton C20/25 unter statischer und quasi-statischer Belastung</b>										
Temperaturbereich I: 40°C/24°C	$\delta_{N0}$ -Faktor	[mm/(N/mm <sup>2</sup> )]	0,090				0,070			
	$\delta_{N\infty}$ -Faktor	[mm/(N/mm <sup>2</sup> )]	0,105				0,105			
Temperaturbereich II: 80°C/50°C	$\delta_{N0}$ -Faktor	[mm/(N/mm <sup>2</sup> )]	0,219				0,170			
	$\delta_{N\infty}$ -Faktor	[mm/(N/mm <sup>2</sup> )]	0,255				0,245			
Temperaturbereich III: 120°C/72°C	$\delta_{N0}$ -Faktor	[mm/(N/mm <sup>2</sup> )]	0,219				0,170			
	$\delta_{N\infty}$ -Faktor	[mm/(N/mm <sup>2</sup> )]	0,255				0,245			

<sup>1)</sup> Berechnung der Verschiebung

$$\delta_{N0} = \delta_{N0}\text{-Faktor} \cdot \tau; \quad \tau: \text{einwirkende Verbundspannung unter Zugbelastung}$$

$$\delta_{N\infty} = \delta_{N\infty}\text{-Faktor} \cdot \tau;$$

**Tabelle C10: Verschiebung unter Querbeanspruchung<sup>1)</sup> (Gewindestange)**

Dübelgröße Gewindestange			M8	M10	M12	M16	M20	M24	M27	M30
<b>Ungerissener Beton C20/25 unter statischer und quasi-statischer Belastung</b>										
Alle Temperaturbereiche	$\delta_{V0}$ -Faktor	[mm/kN]	0,06	0,06	0,05	0,04	0,04	0,03	0,03	0,03
	$\delta_{V\infty}$ -Faktor	[mm/kN]	0,09	0,08	0,08	0,06	0,06	0,05	0,05	0,05
<b>Gerissener Beton C20/25 unter statischer und quasi-statischer Belastung</b>										
Alle Temperaturbereiche	$\delta_{V0}$ -Faktor	[mm/kN]	0,12	0,12	0,11	0,10	0,09	0,08	0,08	0,07
	$\delta_{V\infty}$ -Faktor	[mm/kN]	0,18	0,18	0,17	0,15	0,14	0,13	0,12	0,10

<sup>1)</sup> Berechnung der Verschiebung

$$\delta_{V0} = \delta_{V0}\text{-Faktor} \cdot V; \quad V: \text{einwirkende Querlast}$$

$$\delta_{V\infty} = \delta_{V\infty}\text{-Faktor} \cdot V;$$

**Injection System ESSVE ONE, ESSVE ONE-ICE für Beton**

**Leistungen**

Verschiebungen unter statischer und quasi-statischer Belastung (Gewindestange)

**Anhang C 9**

**Tabelle C11: Verschiebung unter Zugbeanspruchung<sup>1)</sup> (Innengewindeankerstange)**

Dübelgröße Innengewindeankerstange			IG-M6	IG-M8	IG-M10	IG-M12	IG-M16	IG-M20
<b>Ungerissener Beton C20/25 unter statischer und quasi-statischer Belastung</b>								
Temperaturbereich I: 40°C/24°C	$\delta_{N0}$ -Faktor	[mm/(N/mm <sup>2</sup> )]	0,023	0,026	0,031	0,036	0,041	0,049
	$\delta_{N\infty}$ -Faktor	[mm/(N/mm <sup>2</sup> )]	0,033	0,037	0,045	0,052	0,060	0,071
Temperaturbereich II: 80°C/50°C	$\delta_{N0}$ -Faktor	[mm/(N/mm <sup>2</sup> )]	0,056	0,063	0,075	0,088	0,100	0,119
	$\delta_{N\infty}$ -Faktor	[mm/(N/mm <sup>2</sup> )]	0,081	0,090	0,108	0,127	0,145	0,172
Temperaturbereich III: 120°C/72°C	$\delta_{N0}$ -Faktor	[mm/(N/mm <sup>2</sup> )]	0,056	0,063	0,075	0,088	0,100	0,119
	$\delta_{N\infty}$ -Faktor	[mm/(N/mm <sup>2</sup> )]	0,081	0,090	0,108	0,127	0,145	0,172
<b>Gerissener Beton C20/25 unter statischer, quasi-statischer Belastung</b>								
Temperaturbereich I: 40°C/24°C	$\delta_{N0}$ -Faktor	[mm/(N/mm <sup>2</sup> )]	0,090			0,070		
	$\delta_{N\infty}$ -Faktor	[mm/(N/mm <sup>2</sup> )]	0,105			0,105		
Temperaturbereich II: 80°C/50°C	$\delta_{N0}$ -Faktor	[mm/(N/mm <sup>2</sup> )]	0,219			0,170		
	$\delta_{N\infty}$ -Faktor	[mm/(N/mm <sup>2</sup> )]	0,255			0,245		
Temperaturbereich III: 120°C/72°C	$\delta_{N0}$ -Faktor	[mm/(N/mm <sup>2</sup> )]	0,219			0,170		
	$\delta_{N\infty}$ -Faktor	[mm/(N/mm <sup>2</sup> )]	0,255			0,245		

<sup>1)</sup> Berechnung der Verschiebung

$$\delta_{N0} = \delta_{N0}\text{-Faktor} \cdot \tau; \quad \tau: \text{einwirkende Verbundspannung unter Zugbelastung}$$

$$\delta_{N\infty} = \delta_{N\infty}\text{-Faktor} \cdot \tau;$$

**Tabelle C12: Verschiebung unter Querbeanspruchung<sup>1)</sup> (Innengewindeankerstange)**

Dübelgröße Innengewindeankerstangen			IG-M6	IG-M8	IG-M10	IG-M12	IG-M16	IG-M20
<b>Gerissener und ungerissener Beton C20/25 unter statischer und quasi-statischer Belastung</b>								
Alle Temperaturbereiche	$\delta_{V0}$ -Faktor	[mm/kN]	0,07	0,06	0,06	0,05	0,04	0,04
	$\delta_{V\infty}$ -Faktor	[mm/kN]	0,10	0,09	0,08	0,08	0,06	0,06

<sup>1)</sup> Berechnung der Verschiebung

$$\delta_{V0} = \delta_{V0}\text{-Faktor} \cdot V; \quad V: \text{einwirkende Querlast}$$

$$\delta_{V\infty} = \delta_{V\infty}\text{-Faktor} \cdot V;$$

**Injection System ESSVE ONE, ESSVE ONE-ICE für Beton**

**Leistungen**

Verschiebungen unter statischer und quasi-statischer Belastung (Innengewindeankerstange)

**Anhang C 10**

**Tabelle C13: Verschiebung unter Zugbeanspruchung<sup>1)</sup> (Betonstahl)**

Dübelgröße Betonstahl			Ø 8	Ø 10	Ø 12	Ø 14	Ø 16	Ø 20	Ø 25	Ø 28	Ø 32
<b>Ungerissener Beton C20/25 unter statischer und quasi-statischer Belastung</b>											
Temperaturbereich I: 40°C/24°C	δ <sub>N0</sub> -Faktor	[mm/(N/mm <sup>2</sup> )]	0,021	0,023	0,026	0,028	0,031	0,036	0,043	0,047	0,052
	δ <sub>N∞</sub> -Faktor	[mm/(N/mm <sup>2</sup> )]	0,030	0,033	0,037	0,041	0,045	0,052	0,061	0,071	0,075
Temperaturbereich II: 80°C/50°C	δ <sub>N0</sub> -Faktor	[mm/(N/mm <sup>2</sup> )]	0,050	0,056	0,063	0,069	0,075	0,088	0,104	0,113	0,126
	δ <sub>N∞</sub> -Faktor	[mm/(N/mm <sup>2</sup> )]	0,072	0,081	0,090	0,099	0,108	0,127	0,149	0,163	0,181
Temperaturbereich III: 120°C/72°C	δ <sub>N0</sub> -Faktor	[mm/(N/mm <sup>2</sup> )]	0,050	0,056	0,063	0,069	0,075	0,088	0,104	0,113	0,126
	δ <sub>N∞</sub> -Faktor	[mm/(N/mm <sup>2</sup> )]	0,072	0,081	0,090	0,099	0,108	0,127	0,149	0,163	0,181
<b>Gerissener Beton C20/25 unter statischer und quasi-statischer Belastung</b>											
Temperaturbereich I: 40°C/24°C	δ <sub>N0</sub> -Faktor	[mm/(N/mm <sup>2</sup> )]	0,090				0,070				
	δ <sub>N∞</sub> -Faktor	[mm/(N/mm <sup>2</sup> )]	0,105				0,105				
Temperaturbereich II: 80°C/50°C	δ <sub>N0</sub> -Faktor	[mm/(N/mm <sup>2</sup> )]	0,219				0,170				
	δ <sub>N∞</sub> -Faktor	[mm/(N/mm <sup>2</sup> )]	0,255				0,245				
Temperaturbereich III: 120°C/72°C	δ <sub>N0</sub> -Faktor	[mm/(N/mm <sup>2</sup> )]	0,219				0,170				
	δ <sub>N∞</sub> -Faktor	[mm/(N/mm <sup>2</sup> )]	0,255				0,245				

<sup>1)</sup> Berechnung der Verschiebung

$$\delta_{N0} = \delta_{N0}\text{-Faktor} \cdot \tau; \quad \tau: \text{einwirkende Verbundspannung unter Zugbelastung}$$

$$\delta_{N\infty} = \delta_{N\infty}\text{-Faktor} \cdot \tau;$$

**Tabelle C14: Verschiebung unter Querbeanspruchung<sup>1)</sup> (Betonstahl)**

Dübelgröße Betonstahl			Ø 8	Ø 10	Ø 12	Ø 14	Ø 16	Ø 20	Ø 25	Ø 28	Ø 32
<b>Ungerissener Beton C20/25 unter statischer und quasi-statischer Belastung</b>											
Alle Temperaturbereiche	δ <sub>V0</sub> -Faktor	[mm/kN]	0,06	0,05	0,05	0,04	0,04	0,04	0,03	0,03	0,03
	δ <sub>V∞</sub> -Faktor	[mm/kN]	0,09	0,08	0,08	0,06	0,06	0,05	0,05	0,04	0,04
<b>Gerissener Beton C20/25 unter statischer und quasi-statischer Belastung</b>											
Alle Temperaturbereiche	δ <sub>V0</sub> -Faktor	[mm/kN]	0,12	0,12	0,11	0,11	0,10	0,09	0,08	0,07	0,06
	δ <sub>V∞</sub> -Faktor	[mm/kN]	0,18	0,18	0,17	0,16	0,15	0,14	0,12	0,11	0,10

<sup>1)</sup> Berechnung der Verschiebung

$$\delta_{V0} = \delta_{V0}\text{-Faktor} \cdot V; \quad V: \text{einwirkende Querlast}$$

$$\delta_{V\infty} = \delta_{V\infty}\text{-Faktor} \cdot V;$$

**Injection System ESSVE ONE, ESSVE ONE-ICE für Beton**

**Leistungen**

Verschiebungen unter statischer und quasi-statischer Belastung (Betonstahl)

**Anhang C 11**

<b>Tabelle C15: Charakteristische Werte der Zugtragfähigkeit unter Erdbebenbelastung (Leistungskategorie C1)</b>												
<b>Dübelgröße Gewindestangen</b>				<b>M8</b>	<b>M 10</b>	<b>M12</b>	<b>M16</b>	<b>M20</b>	<b>M24</b>	<b>M27</b>	<b>M30</b>	
<b>Stahlversagen</b>												
Charakteristische Zugtragfähigkeit				$N_{Rk,s,eq}$	[kN]	$1,0 \cdot N_{Rk,s}$						
Teilsicherheitsbeiwert				$\gamma_{Ms,N}$	[-]	siehe Tabelle C1						
<b>Kombiniertes Versagen durch Herausziehen und Betonausbruch</b>												
Charakteristische Verbundtragfähigkeit im gerissenen und ungerissenen Beton C20/25												
Temperaturbereich	I: 40°C/24°C	trockener und feuchter Beton	$\tau_{Rk,eq}$	[N/mm <sup>2</sup> ]	2,5	3,1	3,7	3,7	3,7	3,8	4,5	4,5
	II: 80°C/50°C		$\tau_{Rk,eq}$	[N/mm <sup>2</sup> ]	1,6	2,2	2,7	2,7	2,7	2,8	3,1	3,1
	III: 120°C/72°C		$\tau_{Rk,eq}$	[N/mm <sup>2</sup> ]	1,3	1,6	2,0	2,0	2,0	2,1	2,4	2,4
	I: 40°C/24°C	wassergefülltes Bohrloch	$\tau_{Rk,eq}$	[N/mm <sup>2</sup> ]	2,5	2,5	3,7	3,7	Leistung nicht bewertet (NPA)			
	II: 80°C/50°C		$\tau_{Rk,eq}$	[N/mm <sup>2</sup> ]	1,6	1,9	2,7	2,7				
	III: 120°C/72°C		$\tau_{Rk,eq}$	[N/mm <sup>2</sup> ]	1,3	1,6	2,0	2,0				
Reduktionsfaktor $\psi_{sus}^0$ im gerissenen und ungerissenen Beton C20/25												
Temperaturbereich	I: 40°C/24°C	trockener und feuchter Beton, sowie wassergefülltes Bohrloch	$\psi_{sus}^0$	[-]	0,73							
	II: 80°C/50°C				0,65							
	III: 120°C/72°C				0,57							
Erhöhungsfaktor für Beton $\psi_c$				C25/30 bis C50/60				1,0				
<b>Betonausbruch</b>												
Relevante Parameter				siehe Tabelle C2								
<b>Spalten</b>												
Relevante Parameter				siehe Tabelle C2								
<b>Montagebeiwert</b>												
für trockenen und feuchten Beton				$\gamma_{inst}$	[-]	1,0	1,2					
für wassergefülltes Bohrloch						1,4			NPA			
<b>Injection System ESSVE ONE, ESSVE ONE-ICE für Beton</b>										<b>Anhang C 12</b>		
<b>Leistungen</b> Charakteristische Werte der Zugtragfähigkeit unter Erdbebenbelastung (Leistungskategorie C1)												

**Tabelle C16: Charakteristische Werte der Querkzugtragfähigkeit unter Erdbebenbelastung (Leistungskategorie C1)**

Dübelgröße Gewindestangen		M8	M10	M12	M16	M20	M24	M27	M30	
<b>Stahlversagen ohne Hebelarm</b>										
Charakteristische Quertragfähigkeit	$V_{Rk,s,eq}$	[kN]	$0,70 \cdot V_{Rk,s}^0$							
Teilsicherheitsbeiwert	$\gamma_{Ms,V}$	[-]	siehe Tabelle C1							
Duktilitätsfaktor	$k_7$	[-]	1,0							
<b>Stahlversagen mit Hebelarm</b>										
Charakteristisches Biegemoment	$M_{Rk,s,eq}^0$	[Nm]	Leistung nicht bewertet (NPA)							
<b>Betonausbruch auf der lastabgewandten Seite</b>										
Faktor	$k_8$	[-]	2,0							
Montagebeiwert	$\gamma_{inst}$	[-]	1,0							
<b>Betonkantenbruch</b>										
Effektive Dübellänge	$l_f$	[mm]	$\min(h_{ef}; 12 \cdot d_{nom})$						$\min(h_{ef}; 300mm)$	
Außendurchmesser des Dübels	$d_{nom}$	[mm]	8	10	12	16	20	24	27	30
Montagebeiwert	$\gamma_{inst}$	[-]	1,0							
<b>Faktor für Ringspalt</b>	$\alpha_{gap}$	[-]	$0,5 (1,0)^1$							

<sup>1)</sup> Wert in der Klammer ist für gefüllte Ringspalte zwischen der Gewindestange und dem Durchgangsloch im Anbauteil gültig. Die Verwendung der Verfüllscheibe gemäß Anhang A 3 ist notwendig.

**Injection System ESSVE ONE, ESSVE ONE-ICE für Beton**

**Leistungen**

Charakteristische Werte der Querkzugtragfähigkeit unter Erdbebenbelastung (Leistungskategorie C1)

**Anhang C 13**

**Tabelle C17: Charakteristische Werte der Zugtragfähigkeit unter Erdbebenbelastung (Leistungskategorie C1)**

Dübelgröße Betonstahl		Ø 8	Ø 10	Ø 12	Ø 14	Ø 16	Ø 20	Ø 25	Ø 28	Ø 32			
<b>Stahlversagen</b>													
Charakteristische Zugtragfähigkeit	$N_{Rk,s,eq}$	[kN]	$1,0 \cdot A_s \cdot f_{uk}^{1)}$										
Stahlspannungsquerschnitt	$A_s$	[mm <sup>2</sup> ]	50	79	113	154	201	314	491	616	804		
Teilsicherheitsbeiwert	$\gamma_{Ms,N}$	[-]	1,4 <sup>2)</sup>										
<b>Kombiniertes Versagen durch Herausziehen und Betonausbruch</b>													
Charakteristische Verbundtragfähigkeit im gerissenen und ungerissenen Beton C20/25													
Temperaturbereich	I: 40°C/24°C	trockener und feuchter Beton	$\tau_{Rk,eq}$	[N/mm <sup>2</sup> ]	2,5	3,1	3,7	3,7	3,7	3,7	3,8	4,5	4,5
	II: 80°C/50°C				1,6	2,2	2,7	2,7	2,7	2,7	2,8	3,1	3,1
	III: 120°C/72°C				1,3	1,6	2,0	2,0	2,0	2,0	2,1	2,4	2,4
	I: 40°C/24°C	wassergefülltes Bohrloch			2,5	2,5	3,7	3,7	3,7	Leistung nicht bewertet (NPA)			
	II: 80°C/50°C				1,6	1,9	2,7	2,7	2,7				
	III: 120°C/72°C				1,3	1,6	2,0	2,0	2,0				
Reduktionsfaktor $\psi_{sus}^0$ im gerissenen und ungerissenen Beton C20/25													
Temperaturbereich	I: 40°C/24°C	trockener und feuchter Beton, sowie wassergefülltes Bohrloch	$\psi_{sus}^0$	[-]	0,73								
	II: 80°C/50°C				0,65								
	III: 120°C/72°C				0,57								
Erhöhungsfaktor für Beton $\psi_c$			C25/30 bis C50/60		1,0								
<b>Betonausbruch</b>													
Relevante Parameter						siehe Tabelle C2							
<b>Spalten</b>													
Relevante Parameter						siehe Tabelle C2							
<b>Montagebeiwert</b>													
für trockenen und feuchten Beton		$\gamma_{inst}$	[-]	1,0	1,2								
für wassergefülltes Bohrloch				1,4				NPA					
<sup>1)</sup> $f_{uk}$ ist den Spezifikationen des Betonstahls zu entnehmen <sup>2)</sup> Sofern andere nationalen Regelungen fehlen													
<b>Injection System ESSVE ONE, ESSVE ONE-ICE für Beton</b>									<b>Anhang C 14</b>				
<b>Leistungen</b> Charakteristische Werte der Zugtragfähigkeit unter Erdbebenbelastung (Leistungskategorie C1)													

**Tabelle C18: Charakteristische Werte der Querkzugtragfähigkeit unter Erdbebenbelastung (Leistungskategorie C1)**

Dübelgröße Betonstahl			Ø 8	Ø 10	Ø 12	Ø 14	Ø 16	Ø 20	Ø 25	Ø 28	Ø 32
<b>Stahlversagen ohne Hebelarm</b>											
Charakteristische Querkzugtragfähigkeit	$V_{Rk,s,eq}$	[kN]	$0,35 \cdot A_s \cdot f_{uk}^{2)}$								
Stahlspannungsquerschnitt	$A_s$	[mm <sup>2</sup> ]	50	79	113	154	201	314	491	616	804
Teilsicherheitsbeiwert	$\gamma_{Ms,V}$	[-]	1,5 <sup>2)</sup>								
Duktilitätsfaktor	$k_7$	[-]	1,0								
<b>Stahlversagen mit Hebelarm</b>											
Charakteristische Biegemoment	$M_{Rk,s,eq}^0$	[Nm]	Leistung nicht bewertet (NPA)								
<b>Betonausbruch auf der lastabgewandten Seite</b>											
Faktor	$k_8$	[-]	2,0								
Montagebeiwert	$\gamma_{inst}$	[-]	1,0								
<b>Betonkantenbruch</b>											
Effektive Dübellänge	$l_f$	[mm]	$\min(h_{ef}; 12 \cdot d_{nom})$						$\min(h_{ef}; 300\text{mm})$		
Außendurchmesser des Dübels	$d_{nom}$	[mm]	8	10	12	14	16	20	25	28	32
Montagebeiwert	$\gamma_{inst}$	[-]	1,0								
<b>Faktor für Ringspalt</b>	$\alpha_{gap}$	[-]	0,5 (1,0) <sup>3)</sup>								
<sup>1)</sup> $f_{uk}$ ist den Spezifikationen des Betonstahls zu entnehmen <sup>2)</sup> Sofern andere nationalen Regelungen fehlen <sup>3)</sup> Wert in der Klammer ist für gefüllte Ringspalte zwischen der Gewindestange und dem Durchgangsloch im Anbauteil gültig. Die Verwendung der Verfüllscheibe gemäß Anhang A 3 ist notwendig.											
<b>Injection System ESSVE ONE, ESSVE ONE-ICE für Beton</b>										<b>Anhang C 15</b>	
<b>Leistungen</b> Charakteristische Werte der Querkzugtragfähigkeit unter Erdbebenbelastung (Leistungskategorie C1)											

<b>Tabelle C19: Verschiebung unter Zugbeanspruchung<sup>1)</sup> (Gewindestange)</b>											
Dübelgröße Gewindestange			M8	M10	M12	M16	M20	M24	M27	M30	
<b>Gerissener und ungerissener Beton C20/25 unter Erdbebenbelastung (Leistungskategorie C1)</b>											
Temperaturbereich I: 40°C/24°C	$\delta_{N0}$ -Faktor	[mm/(N/mm <sup>2</sup> )]	0,090				0,070				
	$\delta_{N\infty}$ -Faktor	[mm/(N/mm <sup>2</sup> )]	0,105				0,105				
Temperaturbereich II: 80°C/50°C	$\delta_{N0}$ -Faktor	[mm/(N/mm <sup>2</sup> )]	0,219				0,170				
	$\delta_{N\infty}$ -Faktor	[mm/(N/mm <sup>2</sup> )]	0,255				0,245				
Temperaturbereich III: 120°C/72°C	$\delta_{N0}$ -Faktor	[mm/(N/mm <sup>2</sup> )]	0,219				0,170				
	$\delta_{N\infty}$ -Faktor	[mm/(N/mm <sup>2</sup> )]	0,255				0,245				
<b>Tabelle C20: Verschiebung unter Zugbeanspruchung<sup>1)</sup> (Betonstahl)</b>											
Dübelgröße Betonstahl			Ø 8	Ø 10	Ø 12	Ø 14	Ø 16	Ø 20	Ø 25	Ø 28	Ø 32
<b>Gerissener und ungerissener Beton C20/25 unter Erdbebenbelastung (Leistungskategorie C1)</b>											
Temperaturbereich I: 40°C/24°C	$\delta_{N0}$ -Faktor	[mm/(N/mm <sup>2</sup> )]	0,090				0,070				
	$\delta_{N\infty}$ -Faktor	[mm/(N/mm <sup>2</sup> )]	0,105				0,105				
Temperaturbereich II: 80°C/50°C	$\delta_{N0}$ -Faktor	[mm/(N/mm <sup>2</sup> )]	0,219				0,170				
	$\delta_{N\infty}$ -Faktor	[mm/(N/mm <sup>2</sup> )]	0,255				0,245				
Temperaturbereich III: 120°C/72°C	$\delta_{N0}$ -Faktor	[mm/(N/mm <sup>2</sup> )]	0,219				0,170				
	$\delta_{N\infty}$ -Faktor	[mm/(N/mm <sup>2</sup> )]	0,255				0,245				
<sup>1)</sup> Berechnung der Verschiebung $\delta_{N0} = \delta_{N0}\text{-Faktor} \cdot \tau$ ; $\tau$ : einwirkende Verbundspannung unter Zugbelastung $\delta_{N\infty} = \delta_{N\infty}\text{-Faktor} \cdot \tau$ ;											
<b>Tabelle C21: Verschiebung unter Querbeanspruchung<sup>2)</sup> (Gewindestange)</b>											
Dübelgröße Gewindestange			M8	M10	M12	M16	M20	M24	M27	M30	
<b>Gerissener und ungerissener Beton C20/25 unter Erdbebenbelastung (Leistungskategorie C1)</b>											
Alle Temperaturbereiche	$\delta_{V0}$ -Faktor	[mm/kN]	0,12	0,12	0,11	0,10	0,09	0,08	0,08	0,07	
	$\delta_{V\infty}$ -Faktor	[mm/kN]	0,18	0,18	0,17	0,15	0,14	0,13	0,12	0,10	
<b>Tabelle C22: Verschiebung unter Querbeanspruchung<sup>2)</sup> (Betonstahl)</b>											
Dübelgröße Betonstahl			Ø 8	Ø 10	Ø 12	Ø 14	Ø 16	Ø 20	Ø 25	Ø 28	Ø 32
<b>Gerissener und ungerissener Beton C20/25 unter Erdbebenbelastung (Leistungskategorie C1)</b>											
Alle Temperaturbereiche	$\delta_{V0}$ -Faktor	[mm/kN]	0,12	0,12	0,11	0,11	0,10	0,09	0,08	0,07	0,06
	$\delta_{V\infty}$ -Faktor	[mm/kN]	0,18	0,18	0,17	0,16	0,15	0,14	0,12	0,11	0,10
<sup>1)</sup> Berechnung der Verschiebung $\delta_{V0} = \delta_{V0}\text{-Faktor} \cdot V$ ; $V$ : einwirkende Querlast $\delta_{V\infty} = \delta_{V\infty}\text{-Faktor} \cdot V$ ;											
<b>Injection System ESSVE ONE, ESSVE ONE-ICE für Beton</b>									<b>Anhang C 16</b>		
<b>Leistungen</b> Verschiebungen unter Erdbebenbelastung (Leistungskategorie C1) (Gewindestange und Betonstahl)											